

Corpuscules

	Crinoïdes (ossicules ou tiges)
	Brachiopodes
	Trilobites
	Gastéropodes
	Bioclastes indéterminables
Rugueux:	
	solitaires
	massifs
	fasciculés
Tabulés:	
	lamellaires
	massifs (entiers ou brisés)
	branchus
Stromatopores:	
	lamellaires
	en dôme
	bulbeux
	massifs (brisés)
	branchus
	Algues calcaires
	Ostracodes
	Débris végétaux
	Ooïdes

Éléments lithologiques

	Joint argileux centimétrique
	Banc subnodulaire
	Bioturbation
	Birdseyes
	Pseudomorphes d'anhydrite
	Pédogenèse
	Stylolithe

Lithologie

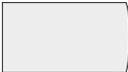
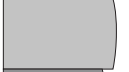
	Calcaire
	Calcaire légèrement argileux
	Calcaire argileux
	Calcaire très argileux
	Shale
	Marne
	Siltite
	Grès

Fig. IV. 1: Légende des colonnes lithologiques simplifiées.

Nom de la coupe	Abr.	Localité	Ep.	n	Lithostratigraphie
Bord Sud Synclinorium de Namur					
Aisemont	AI	Aisemont	34	103	Rivière (Claminforge)/ Base Névremont
Bord Sud Synclinorium de Dinant					
Eau Noire	CV	Couvin	234	622	Couvin (Foulerie)
Falaise de l'Abîme	FA	Couvin	33	132	Couvin (Abîme)
Villers-la-Tour	VT	Villers-la-Tour	53	169	Couvin (Abîme)
Les Monts de Baileux	BX	Baileux	267	581	Sommet Jemelle à base Mont d'Hours
La Couvinoise	HA	Couvin	85	235	Hanonet/base Trois-Fontaines
Route Fromelennes-Flohimont	FRO	Givet	132	249	Trois-Fontaines/Terres d'Hours
Jemelle Gare	JG	Jemelle	169	181	Saint-Joseph/Eau Noire/ Jemelle (Station et Cimetière)
Route du Fays	JF	Jemelle	85.5	119	Jemelle (Chavées)
Jemelle Nord	JN	Jemelle	28	120	La Lomme (La Wamme)
Marenne Est	ME	Marenne	115	265	Trois-Fontaines/Terres d'Hours
Marenne Centre	MC	Marenne	48	81	Trois-Fontaines (Marenne)
Bord Est Synclinorium de Dinant					
Remouchamps	REM	Remouchamps	276	272	Pépinster/Névremont
Sötenicher Mulde					
Ohlesberg	OA OB OC	Bad- Münstereifel	92	223	Lauch/Nohn
Total			1651.5	3352	

Fig. IV. 2: Tableau de synthèse des travaux réalisés.

Pour chaque coupe étudiée, sont donnés: le nom de la coupe, son abréviation (Abr.), la localité, son épaisseur, le nombre d'échantillons collectés ainsi que les formations recoupées (les membres figurent entre parenthèses).

Fig. IV. 3: Localisation générale des coupes étudiées au sein du domaine Rhéno-Hercynien.

Les cadres noirs correspondent aux cartes géologiques plus détaillées présentées dans la suite du chapitre:

1. Aisemont (Fig. IV. 4A)
2. Région de Chimay-Couvin (Fig. IV. 6A)
3. Pointe de Givet (Fig. IV. 12A)
4. Environs de Marche-en-Famenne (Fig. IV. 14)
5. Remouchamps (Fig. IV. 20A)
6. Sôténicher Mulde (Fig. IV. 22A)

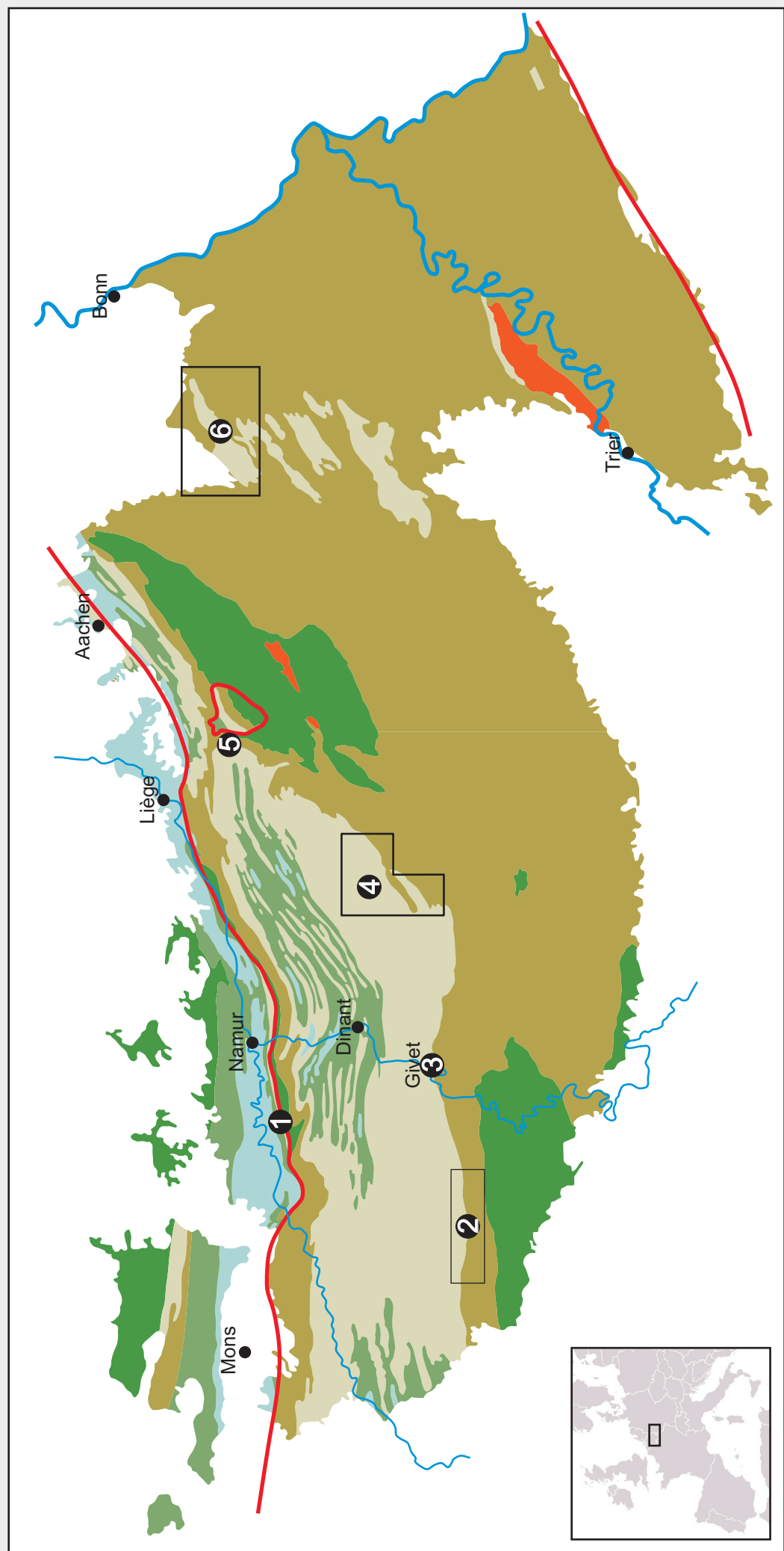


Fig. IV. 3

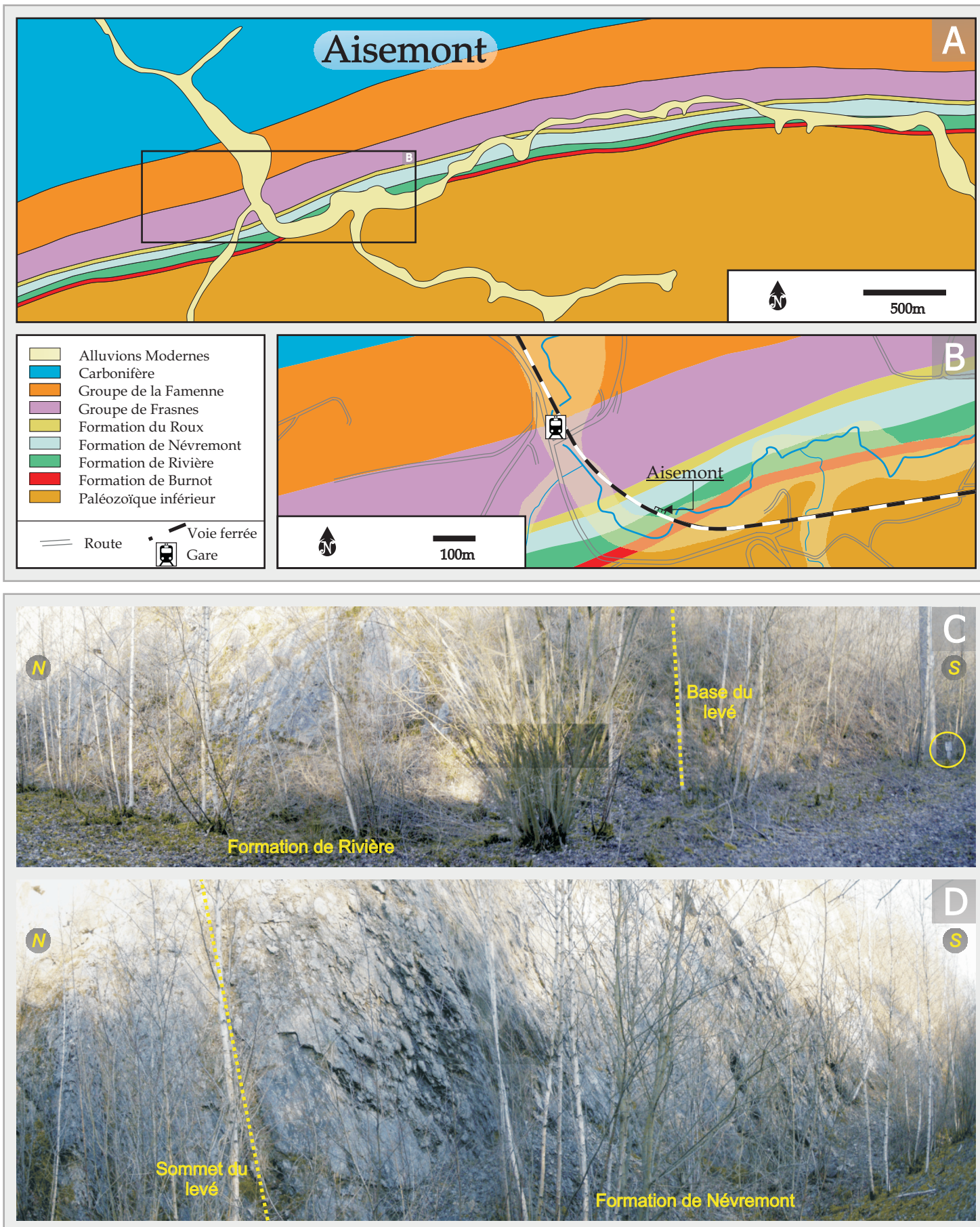


Fig. IV. 4: Localisation et vues générales de la coupe d'Aisemont.

- A. Carte géologique des environs d'Aisemont. Le cadre noir correspond à la zone agrandie en B.
- B. Carte géologique détaillée de la coupe d'Aisemont le long de la voie ferrée désaffectée.
- C. Base du levé. La borne kilométrique 6.2 est cerclée.
- D. Sommet du levé.

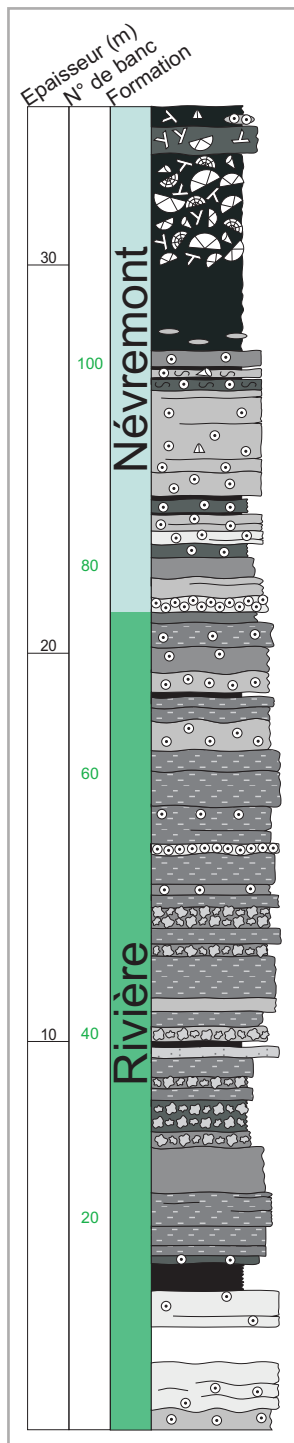


Fig. IV. 5: Colonne lithologique simplifiée de la coupe d'Aisemont.

Les formations recoupées par cette coupe sont celles de Rivière et de Névremont.

Fig. IV. 6: Localisation des coupes étudiées dans la région de Chimay-Couvin (page suivante).

- A. Carte géologique de la région de Chimay-Couvin, les cadres noirs correspondent aux cartes géologiques détaillées des différentes coupes.
- B. Coupe de Villers-la-Tour.
- C. Coupe des Monts de Baileux.
- D. Coupes de l'Eau Noire et de la Falaise de l'Abîme.
- E. Coupe de La Couvinoise.

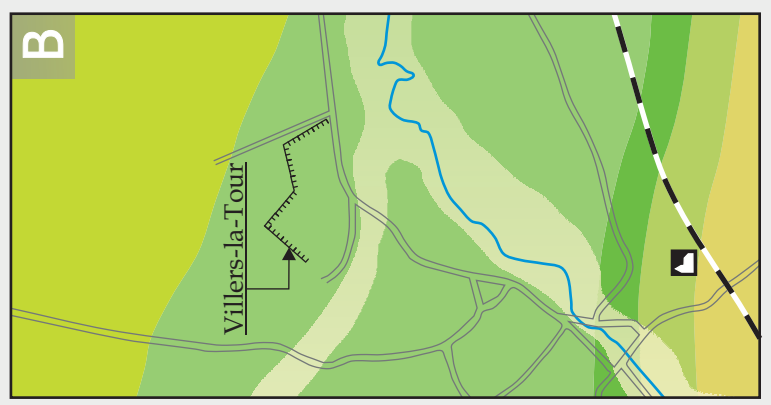
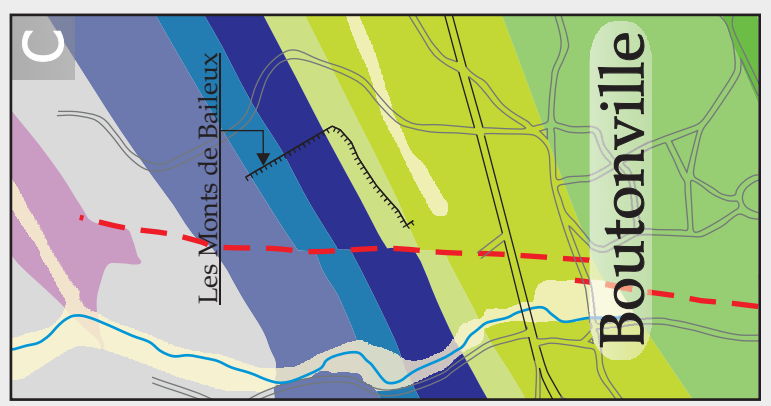
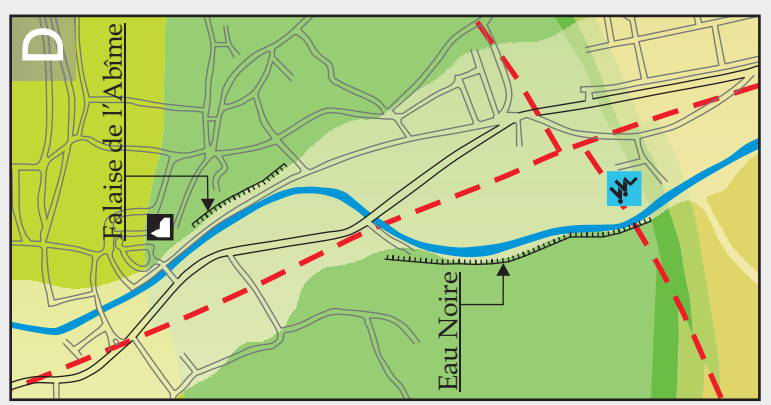
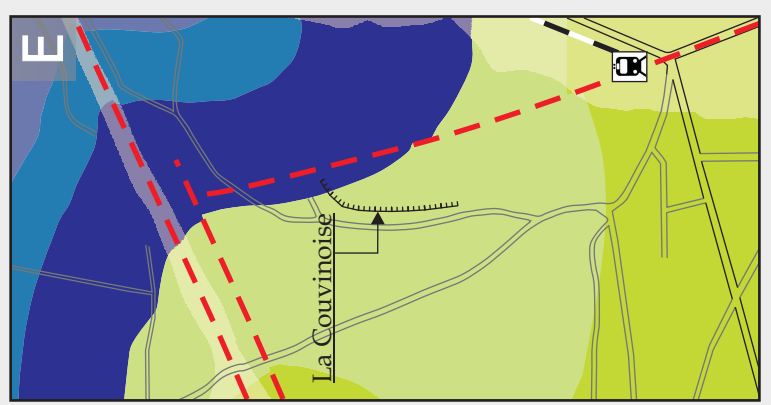
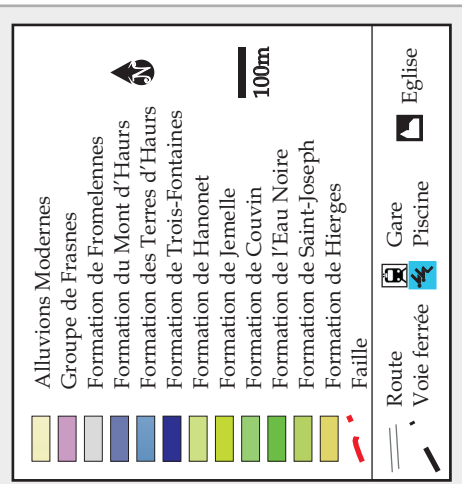
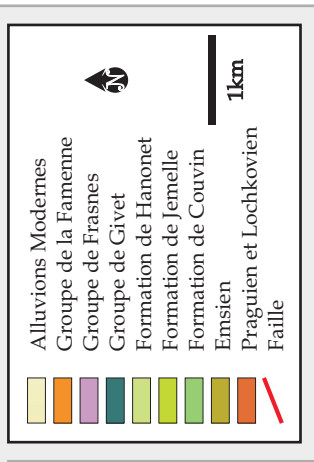
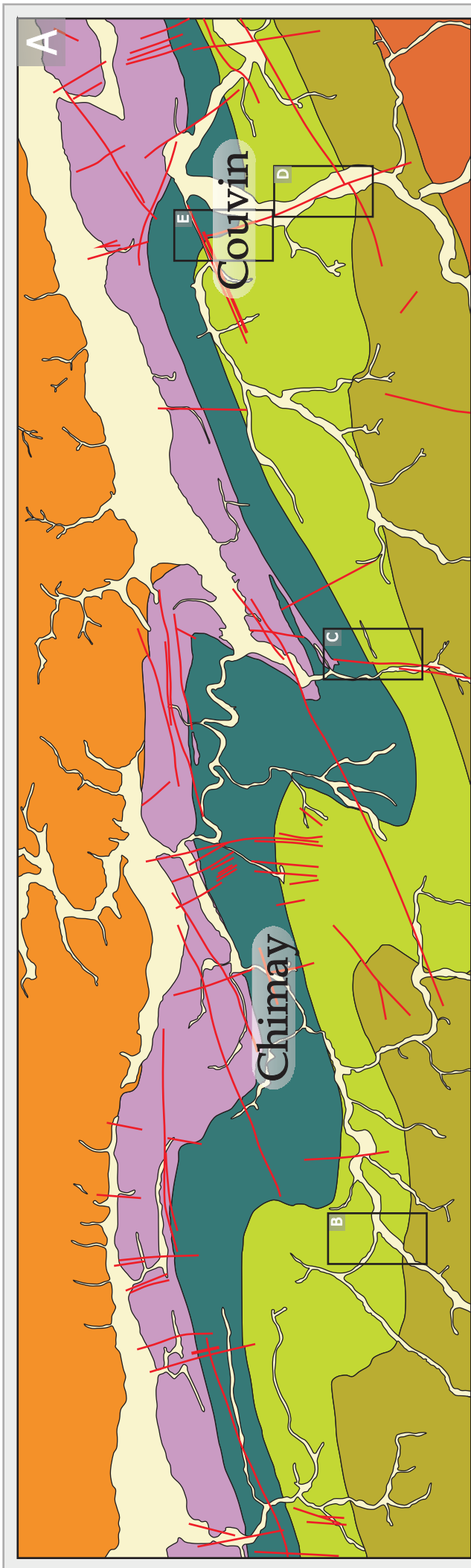


Fig. IV. 6

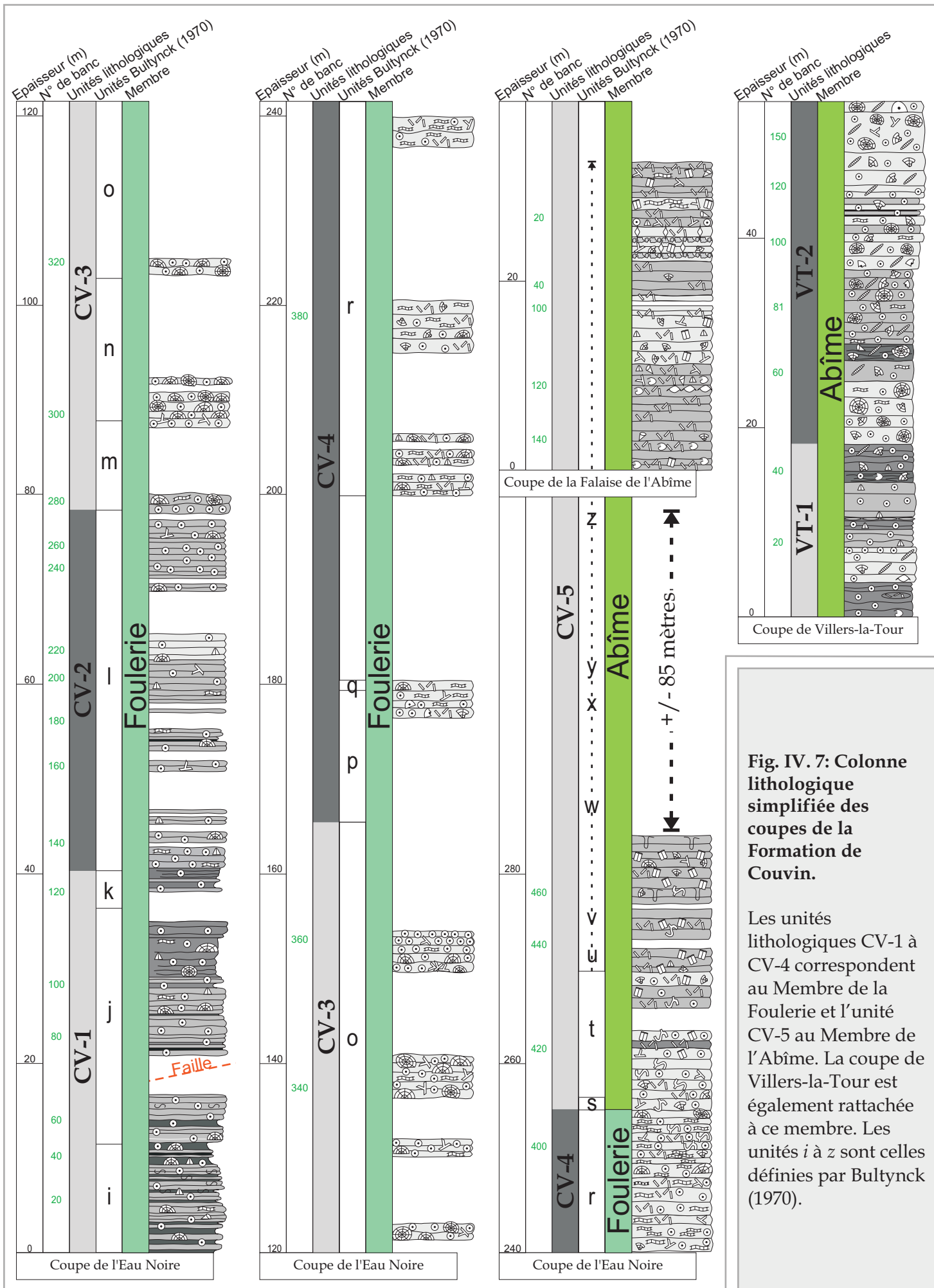


Fig. IV. 7: Colonne lithologique simplifiée des coupes de la Formation de Couvin.

Les unités lithologiques CV-1 à CV-4 correspondent au Membre de la Foulerie et l'unité CV-5 au Membre de l'Abîme. La coupe de Villers-la-Tour est également rattachée à ce membre. Les unités *i* à *z* sont celles définies par Bultynck (1970).

Fig. IV. 7

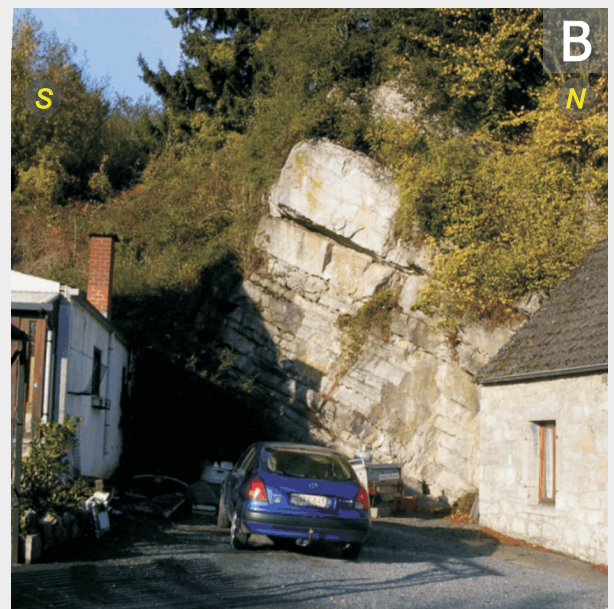
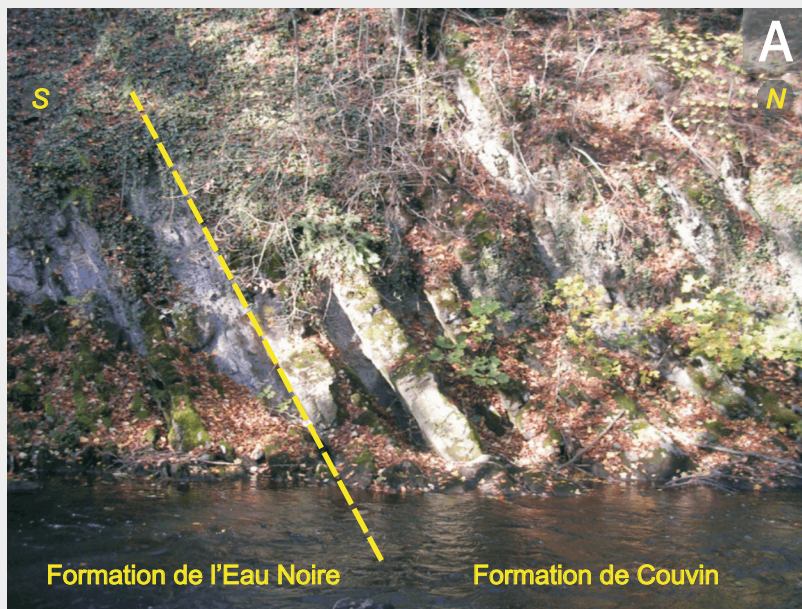


Fig. IV. 8: Vues générales des coupes de la Formation de Couvin.

A. Coupe de l'Eau Noire: limite entre les Formations de l'Eau Noire et de Couvin correspondant à la base du levé, Membre de la Foulerie.

B. Coupe de l'Eau Noire: sommet du levé rue des Rochettes, Membre de l'Abîme.

C. Coupe de la Falaise de l'Abîme, Membre de l'Abîme.

E. Coupe de Villers-la-Tour (affleurement actuel), Membre de l'Abîme.

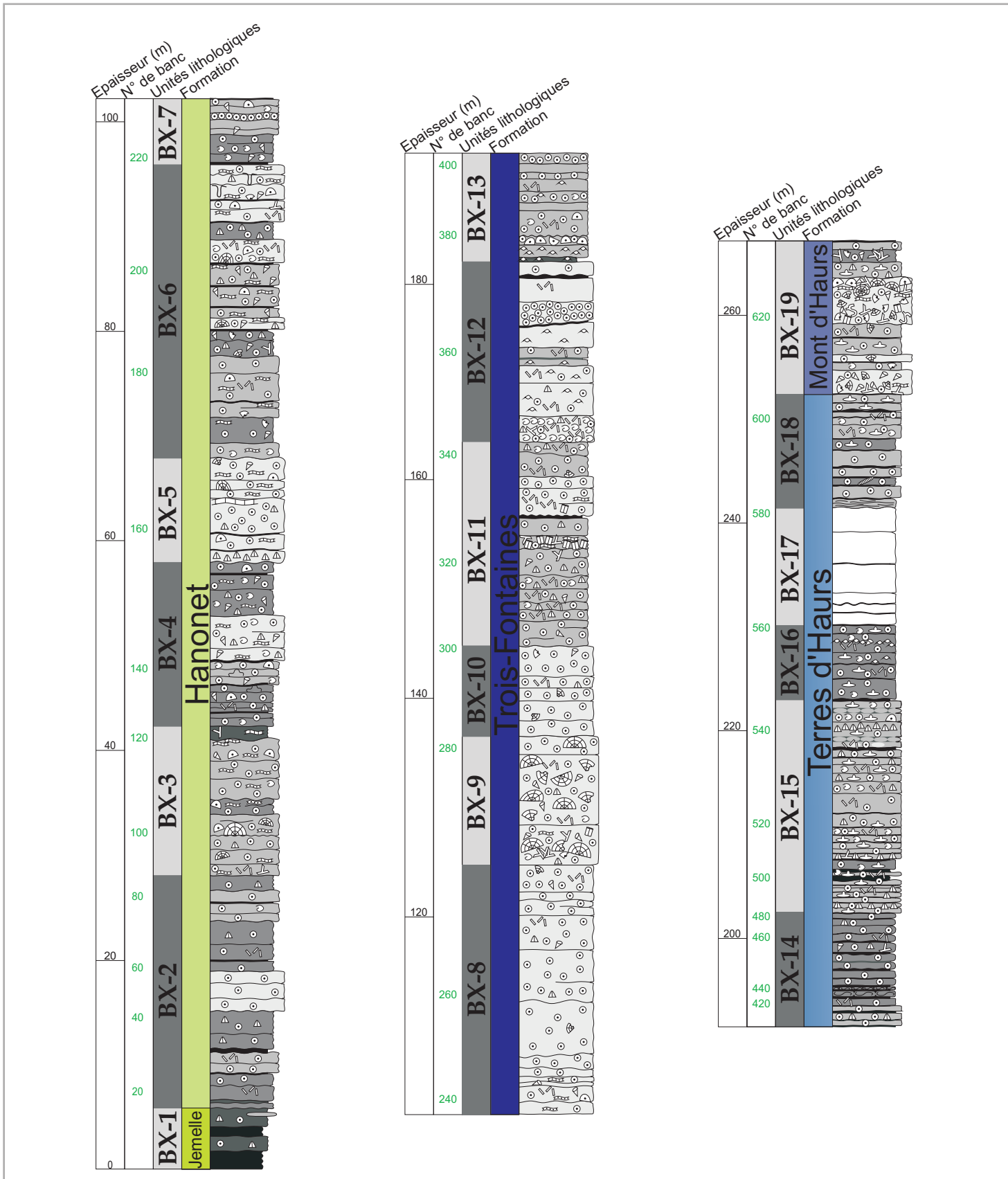


Fig. IV. 9: Colonne lithologique simplifiée de la coupe des Monts de Baileux.

L'unité lithologique BX-1 correspond au sommet de la Formation de Jemelle. Les unités BX-2 à BX-7 sont associées à la Formation de Hanonet, les unités BX-8 à BX-13 à la Formation de Trois-Fontaines et les unités BX-14 à BX-18 à la Formation des Terres d'Haus. L'unité BX-19 est attribuée à la Formation du Mont d'Haus.

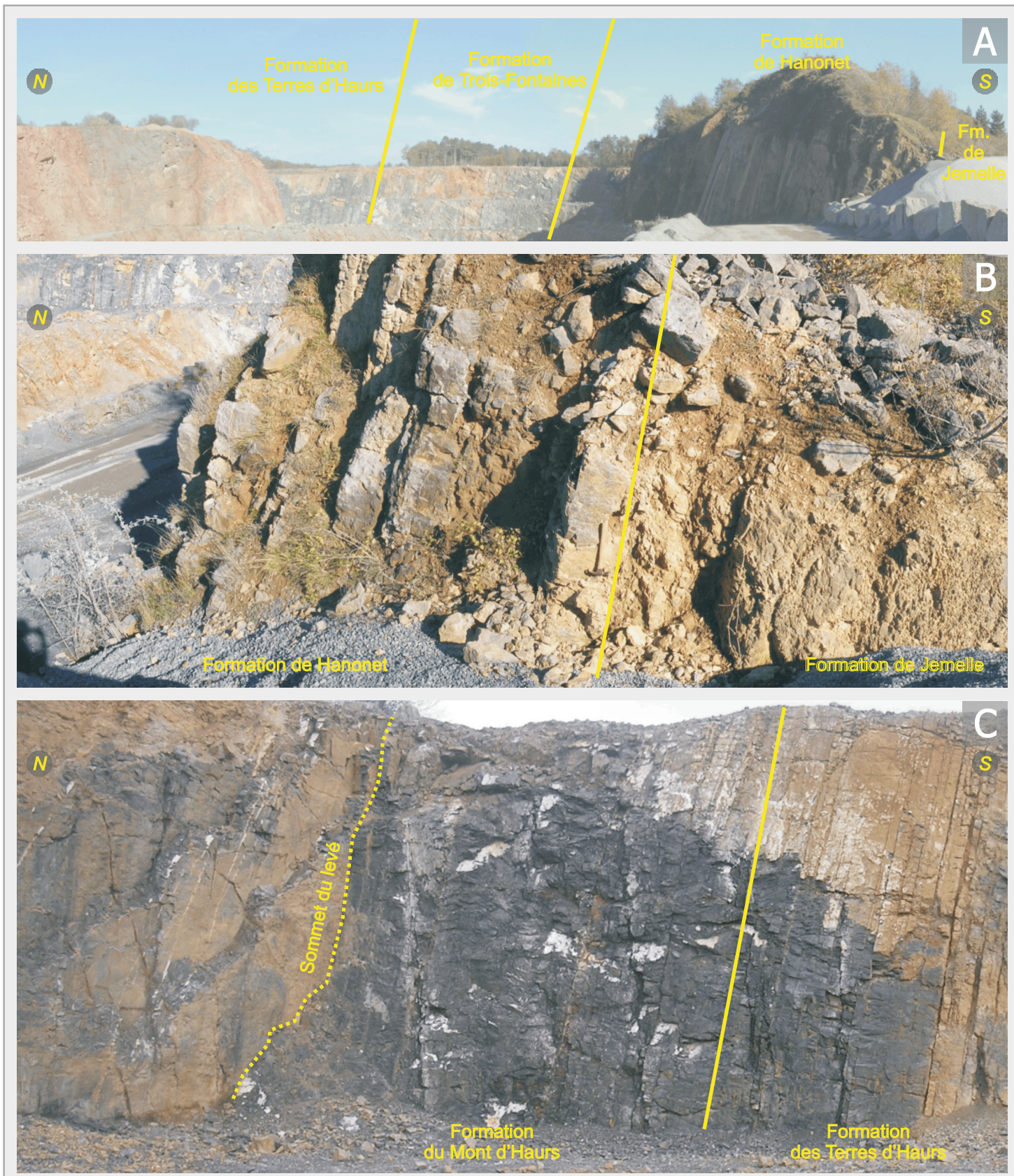


Fig. IV. 10: Vue générale de la coupe des Monts de Baileux.

A. Vue de la coupe des Monts de Baileux montrant les Formations de Jemelle, Hanonet, Trois-Fontaines et Terres d'Haus.

B. Limite entre les Formations de Jemelle et de Hanonet.

C. Limite entre les Formations des Terres d'Haus et du Mont d'Haus. La ligne pointillée correspond au sommet du levé.

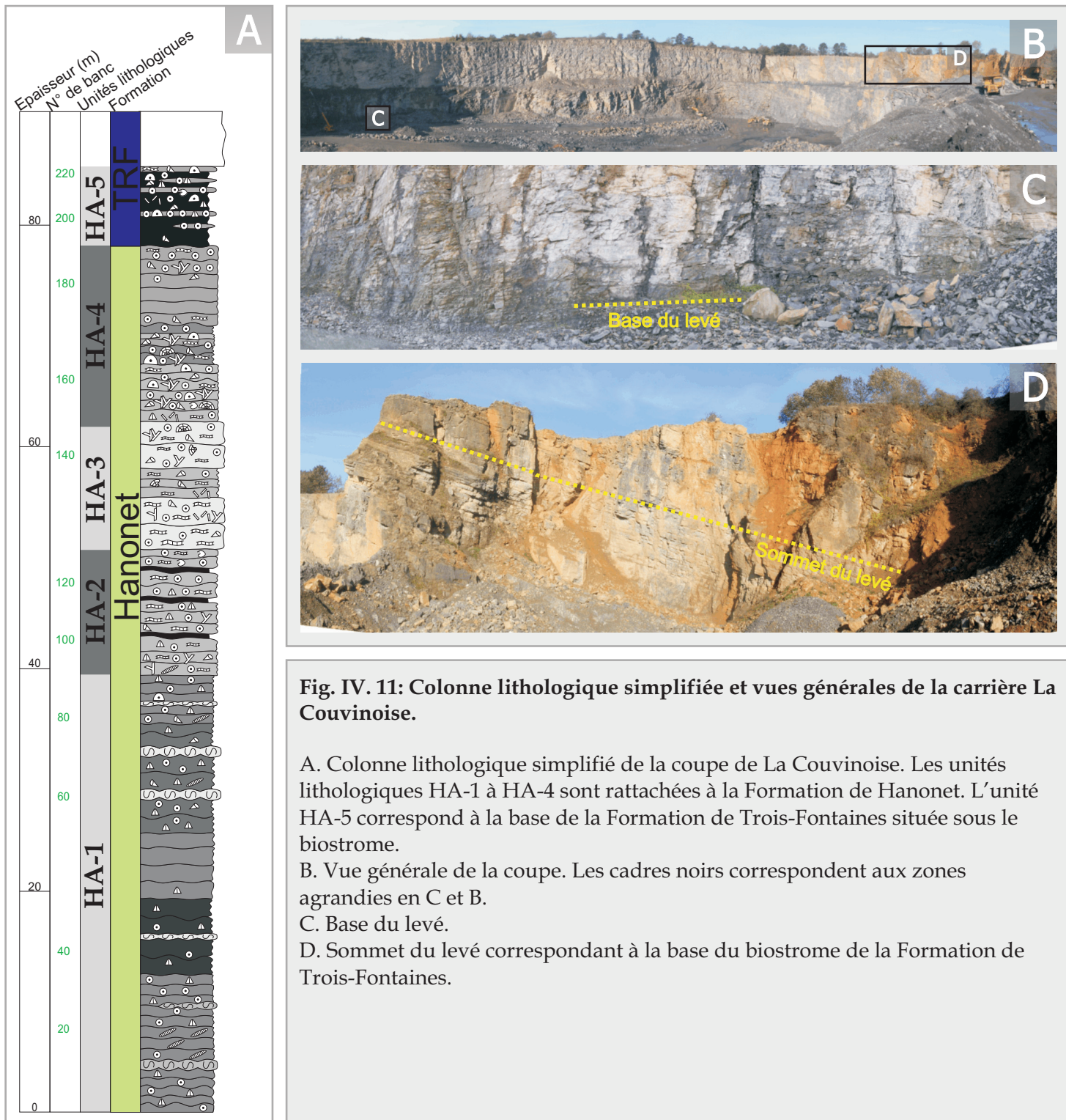


Fig. IV. 11: Colonne lithologique simplifiée et vues générales de la carrière La Couvinoise.

- A. Colonne lithologique simplifiée de la coupe de La Couvinoise. Les unités lithologiques HA-1 à HA-4 sont rattachées à la Formation de Hanonet. L'unité HA-5 correspond à la base de la Formation de Trois-Fontaines située sous le biostrome.
- B. Vue générale de la coupe. Les cadres noirs correspondent aux zones agrandies en C et D.
- C. Base du levé.
- D. Sommet du levé correspondant à la base du biostrome de la Formation de Trois-Fontaines.

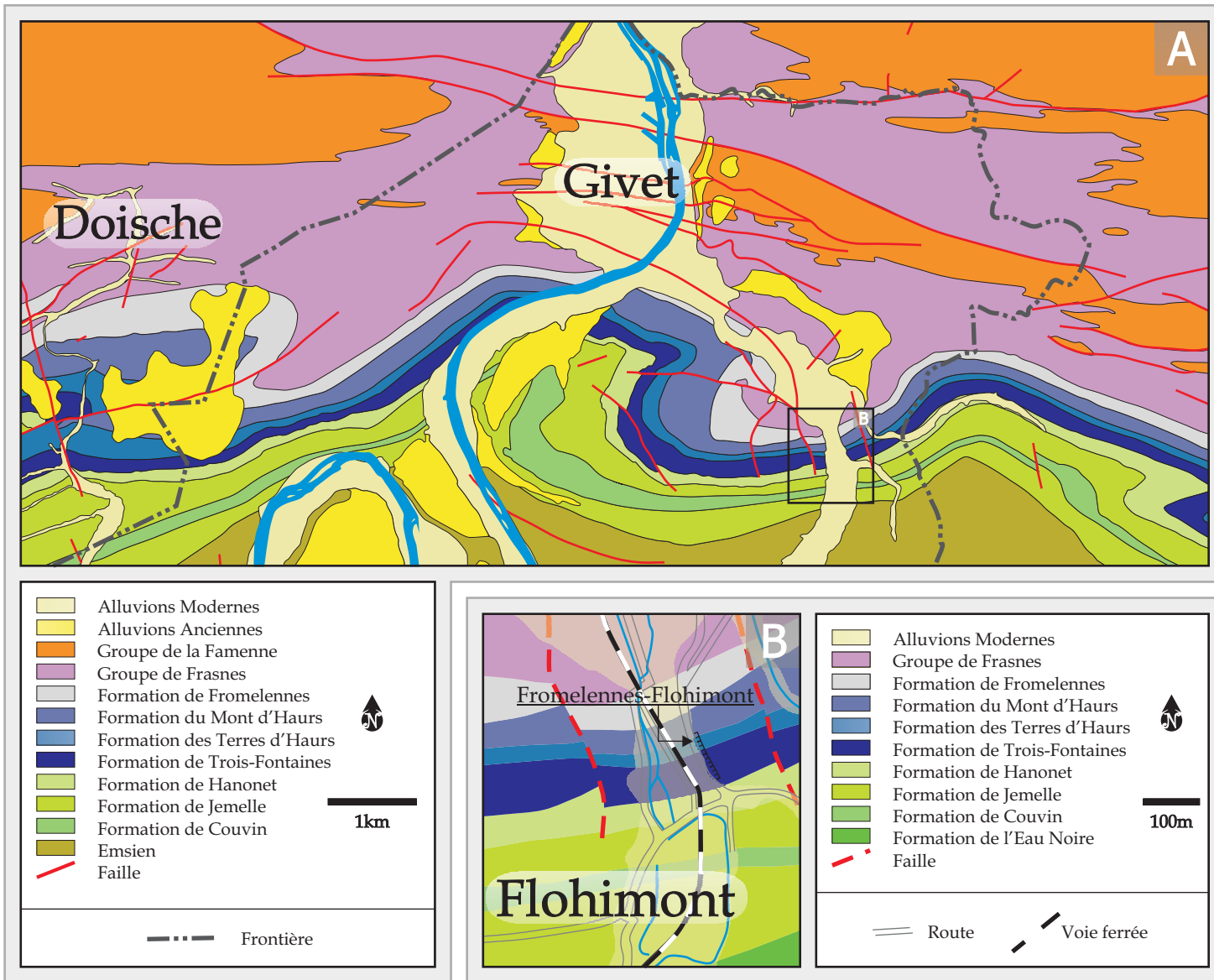


Fig. IV. 12: Localisation de la coupe de la route Fromelennes-Flohimont.

A. Carte géologique de la pointe de Givet, le cadre noir correspond à la carte B.

B. Carte géologique détaillée de la coupe de la route Fromelennes-Flohimont.

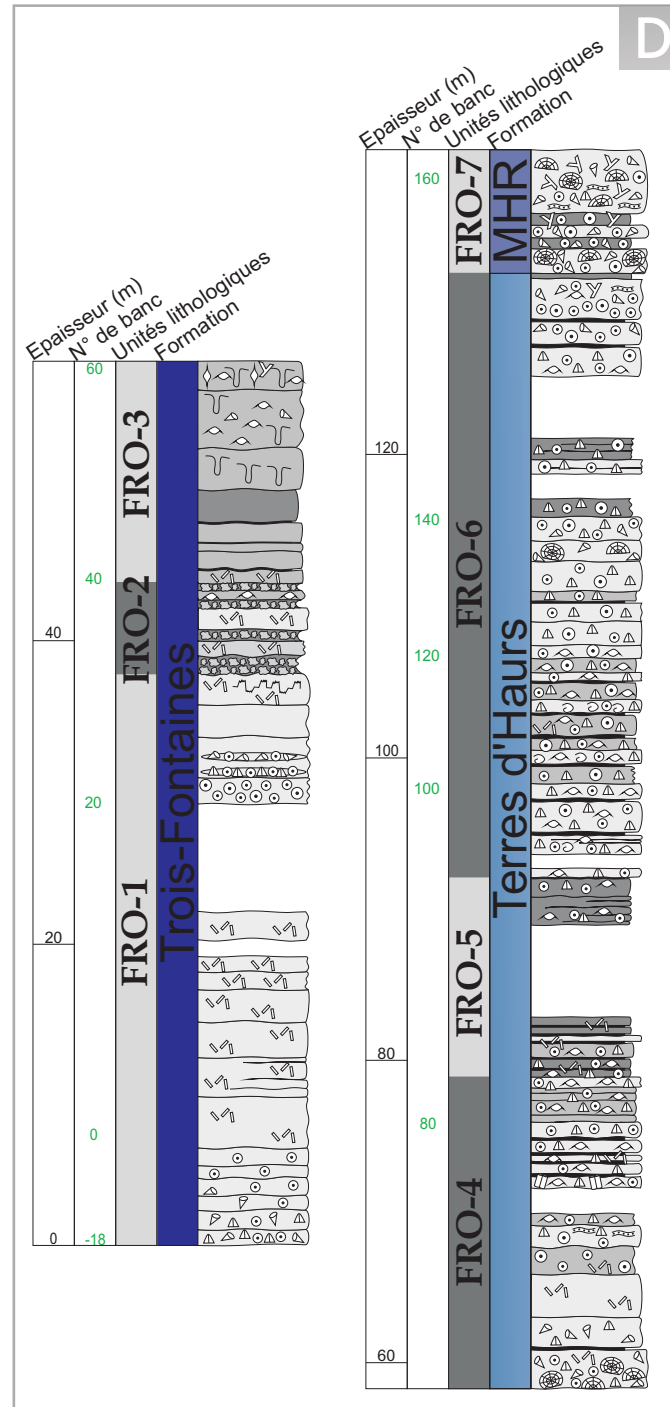


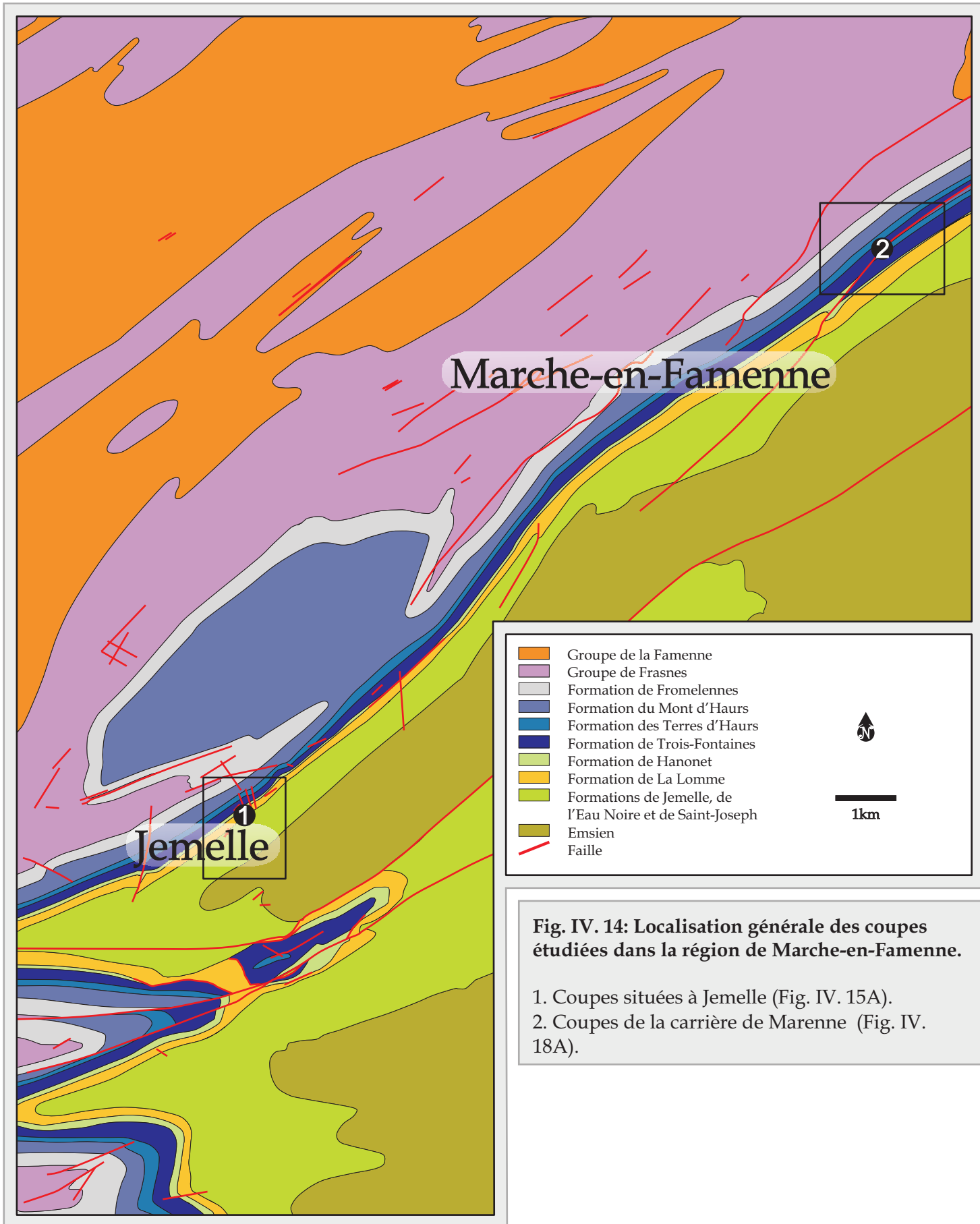
Fig. IV. 13: Colonne lithologique simplifiée et vues générales de la coupe de la route Fromelennes-Flohimont.

A. Vue générale de la coupe. Les cadres noirs correspondent aux zones agrandies en C et B.

B. Base du levé.

C. Limite entre les Formations des Terres d'Haus et du Mont d'Haus correspondant au sommet du levé considéré dans le présent travail (la coupe se poursuivant jusque dans la Formation de Nismes).

D. Colonne lithologique simplifiée de la coupe. Les unités lithologiques FRO-1 à FRO-3 sont rattachées à la Formation de Trois-Fontaines, les unités FRO-4 à FRO-6 à la Formation des Terres d'Haus et FRO-7 à la Formation du Mont d'Haus.



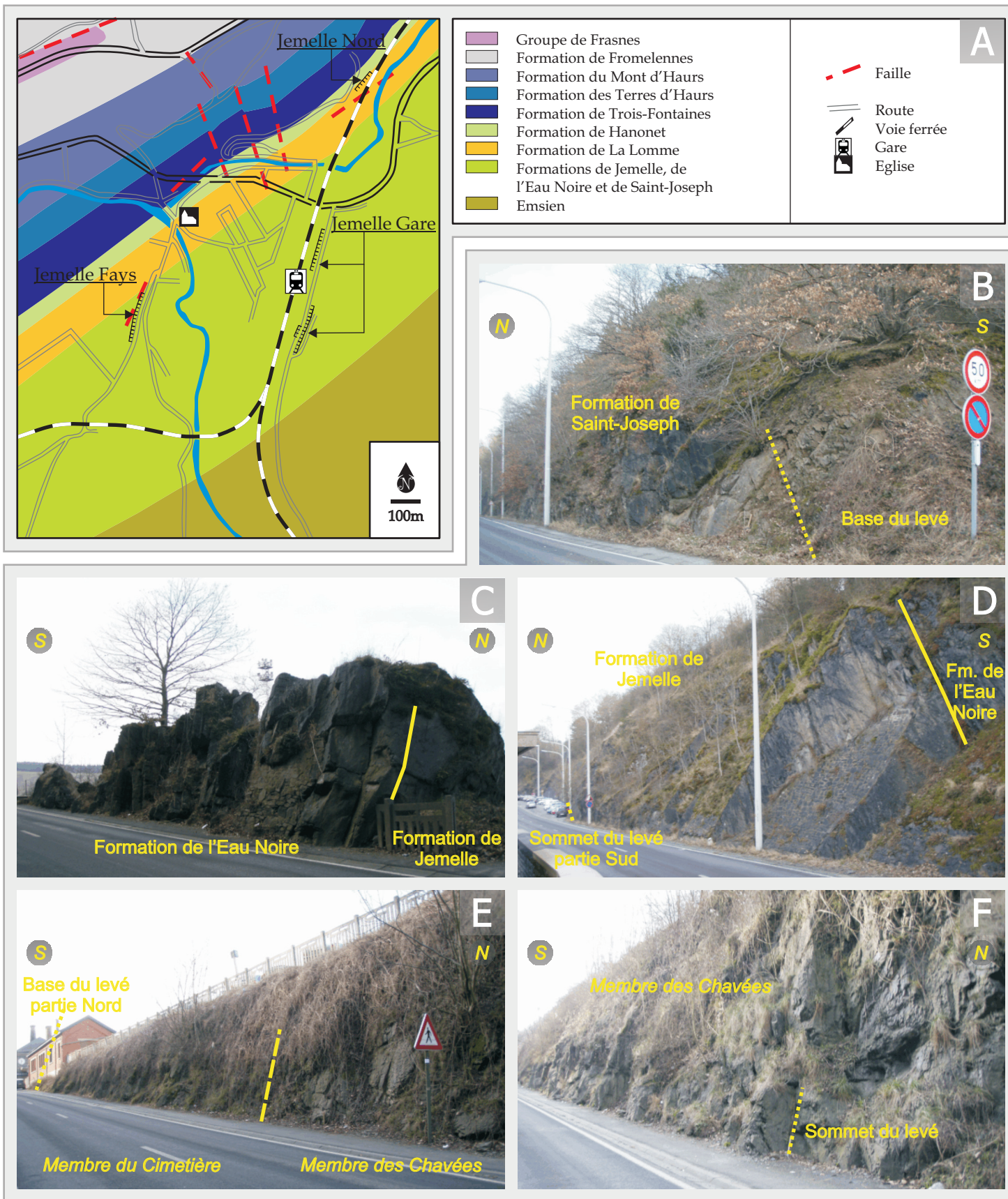


Fig. IV. 15: Carte géologique détaillée de Jemelle et vues générales de la coupe de Jemelle Gare.

- A. Localisation des coupes de Jemelle Gare, de la route du Fays et de Jemelle Nord (les vues générales de ces deux dernières coupes sont présentées à la figure suivante).
- B. Coupe de la gare: base du levé et Formation de Saint-Joseph.
- C. Partie de la coupe de la gare située en bordure Ouest de la route montrant le sommet de la Formation de l'Eau Noire et la base de la Formation de Jemelle (Membre de la Station).
- D. Base de la Formation de Jemelle, Membre de la Station et sommet de la partie Sud du levé.
- E. Partie Nord de la coupe située au Nord de la gare, Membres du Cimetière et des Chavées.
- F. Sommet de la coupe de la gare, Membre des Chavées.

Fig. IV. 15

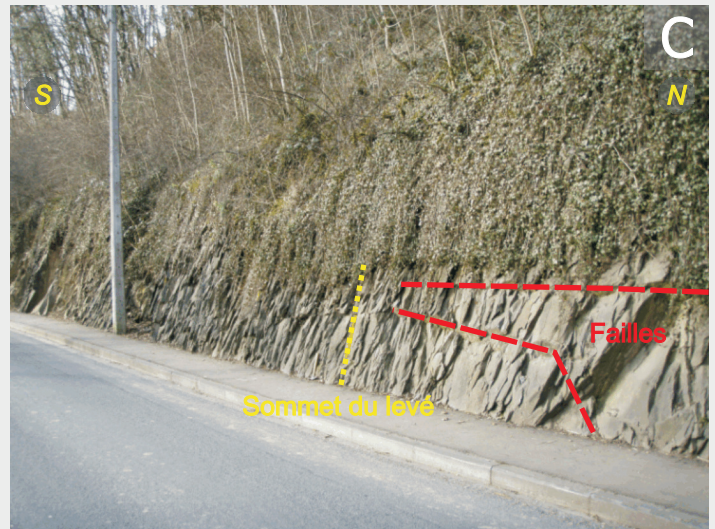


Fig. IV. 16: Vues générales des coupes de Gemelle Fays et Gemelle Nord.

- A. Vue générale de la coupe de la route du Fays.
- B. Base du levé de la coupe de la route du Fays, Formation de Gemelle (Membre des Chavées).
- C. Sommet du levé de la coupe de la route du Fays, Formation de Gemelle (Membre des Chavées).
- D. Vue générale de la coupe de Gemelle Nord, Formation de La Lomme (Membre de La Wamme)

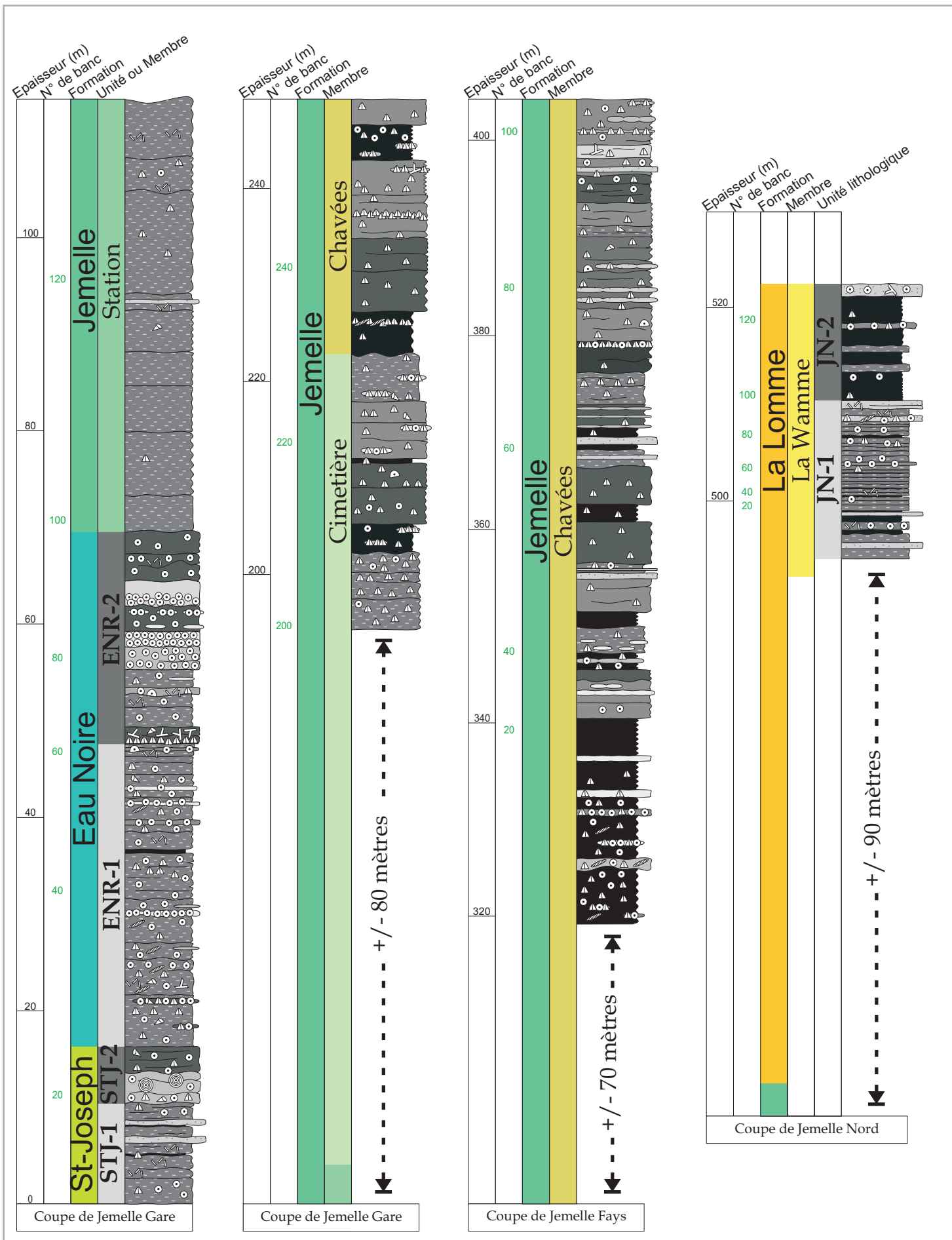


Fig. IV. 17: Colonne lithologique simplifiée des coupes situées à Gemelle.

Les coupes sont, en ordre stratigraphique croissant, celles de Gemelle Gare, de Gemelle Fays et de Gemelle Nord. L'intervalle stratigraphique couvert va du sommet de la Formation de Saint-Joseph au sommet de la Formation de La Lomme.

Fig. IV. 17

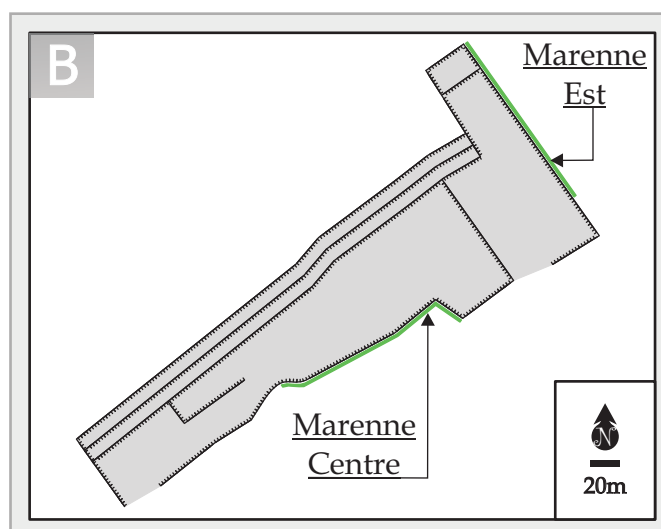
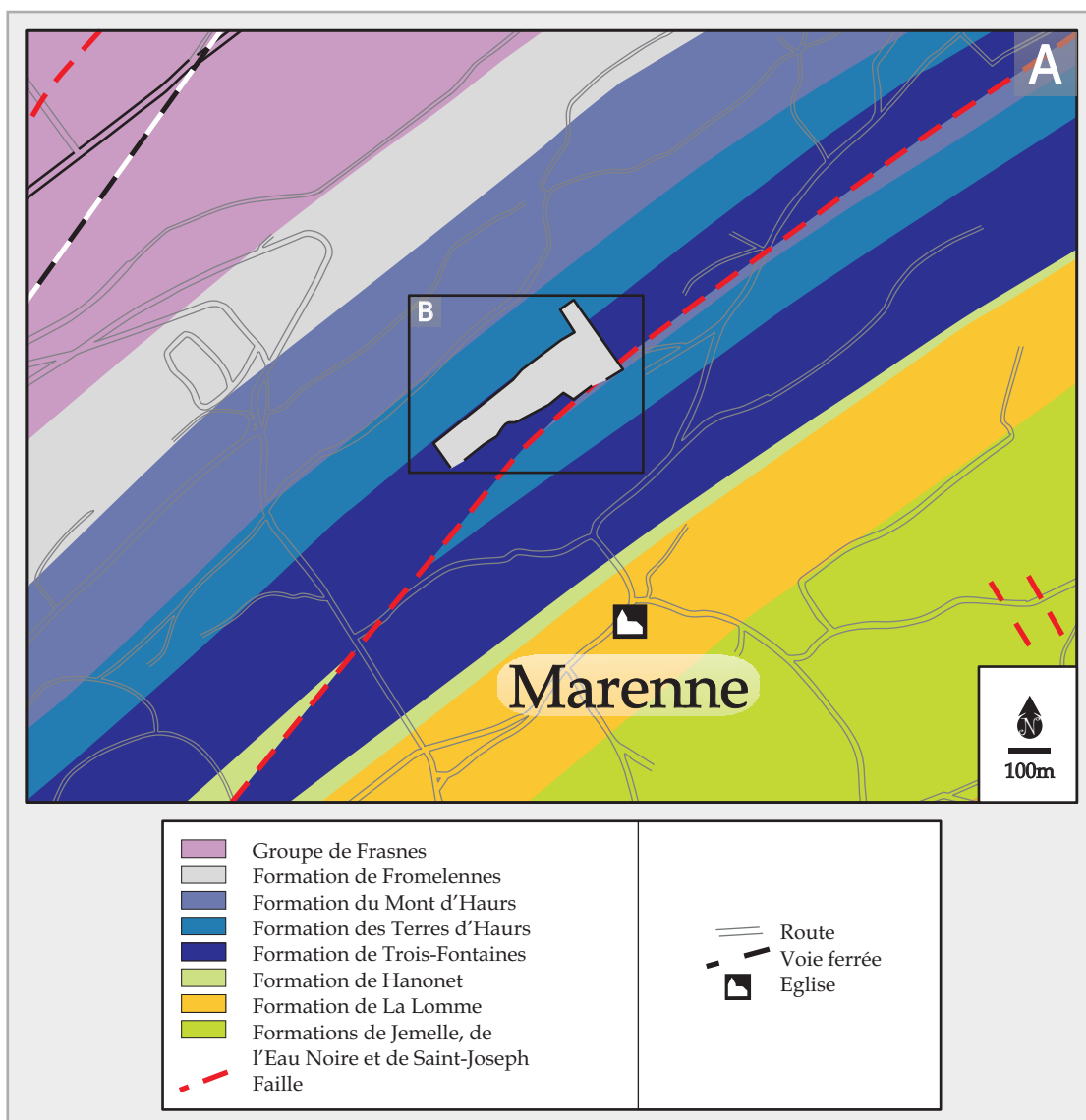


Fig. IV. 18: Localisation des coupes de Marenne.

A. Localisation de la carrière de Marenne. Le cadre noir correspond à la zone agrandie en B.

B. Schéma de la carrière de Marenne renseignant la position des coupes de Marenne Est et de Marenne Centre.

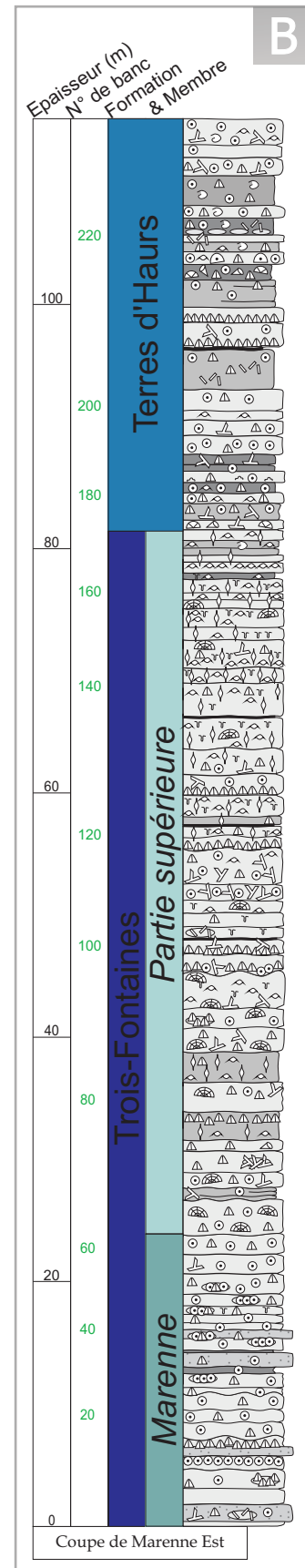
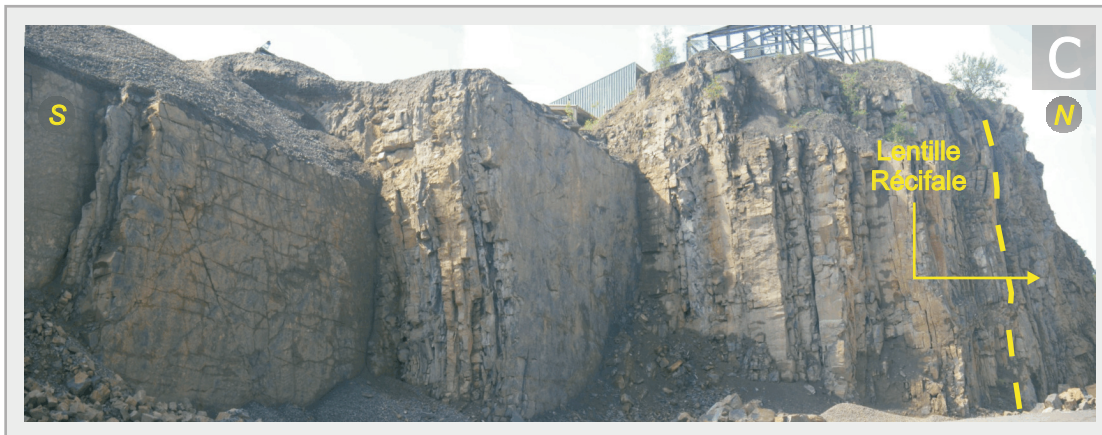


Fig. IV. 19: Colonne lithologique simplifiée et vues générales des coupes de la carrière de Marenne.

- A. Vue générale de la coupe de Marenne Est. La base du levé se situe juste au Nord de la zone perturbée par le passage de la Faille de Marenne.
- B. Colonne lithologique simplifiée de la coupe de Marenne Est recouvrant les Formations de Trois-Fontaines (dont le Membre de Marenne) et des Terres d'Haus.
- C. Vue générale de la coupe de Marenne Centre au sommet de laquelle affleure la lentille récifale.
- D. Colonne lithologique simplifiée de la coupe de Marenne Centre. Trois unités lithologiques y sont définies (MC-1 à MC-3) au sein du Membre de Marenne. L'unité supérieure correspond à la lentille récifale.

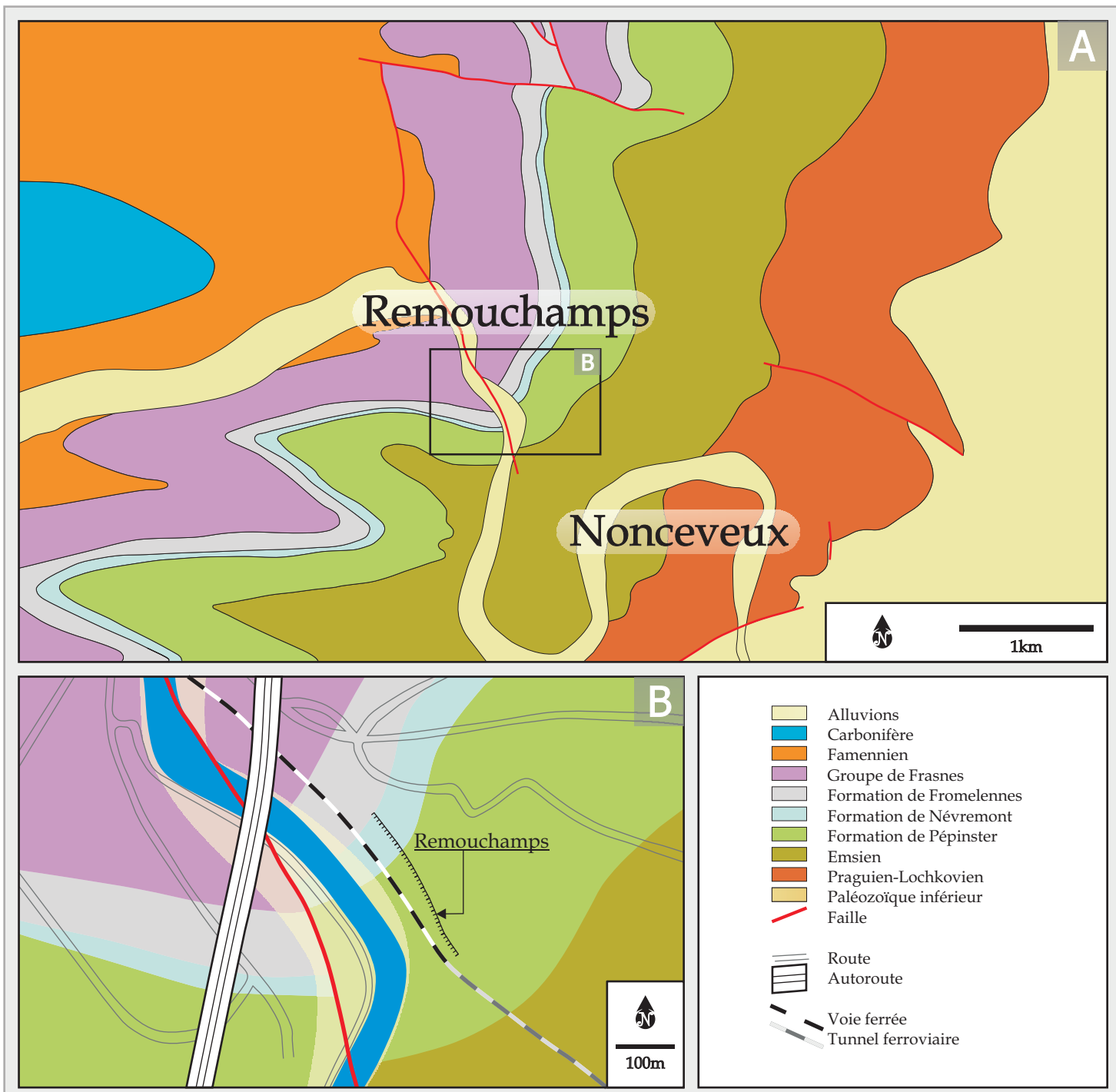


Fig. IV. 20: Localisation de la coupe de Remouchamps.

A. Carte géologique de la région de Remouchamps, le cadre noir correspond à la carte B.

B. Carte géologique détaillée de la coupe de Remouchamps.

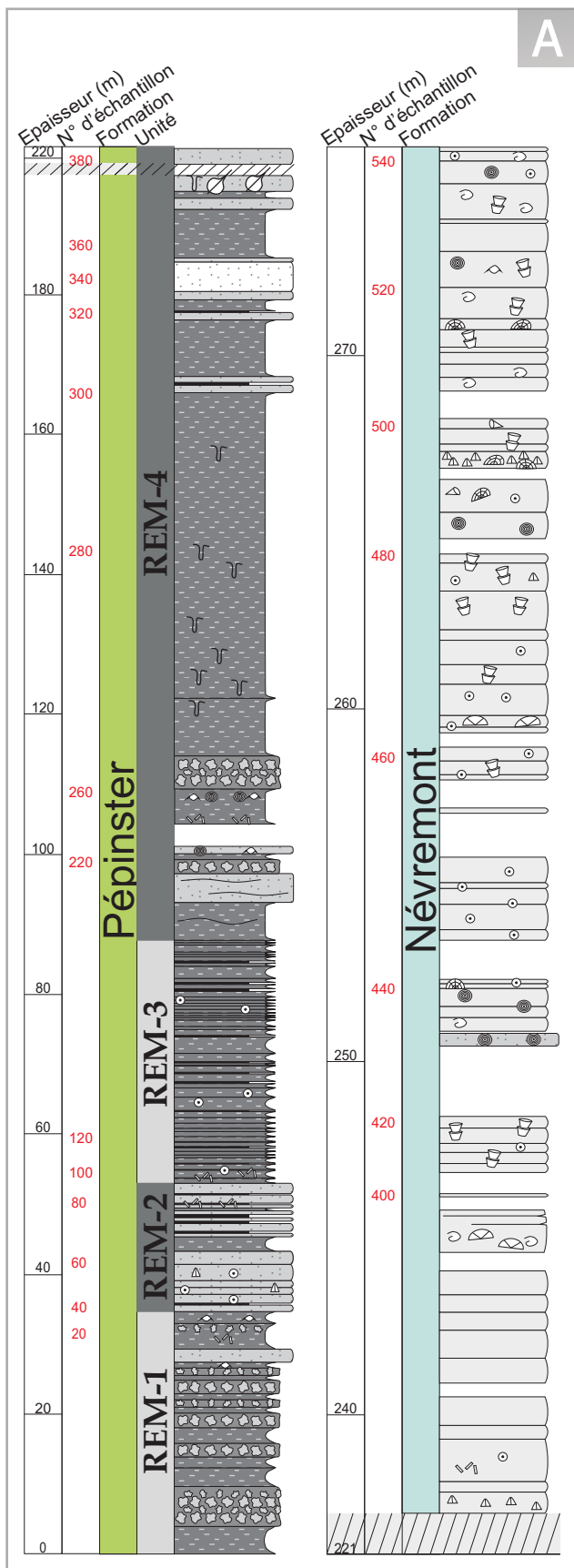


Fig. IV. 21: Vues générales et colonne lithologique simplifiée de la coupe de Remouchamps.

- A. Colonne lithologique de la coupe de Remouchamps. Notez la différence d'échelle utilisée entre la Formation de Pépinster et le Formation de Névremont.
- B. Base de la coupe située au Nord du tunnel ferroviaire.
- C. Partie de la coupe située le long de la voie ferrée .
- D. Partie de la coupe située au sein de l'ancienne carrière.

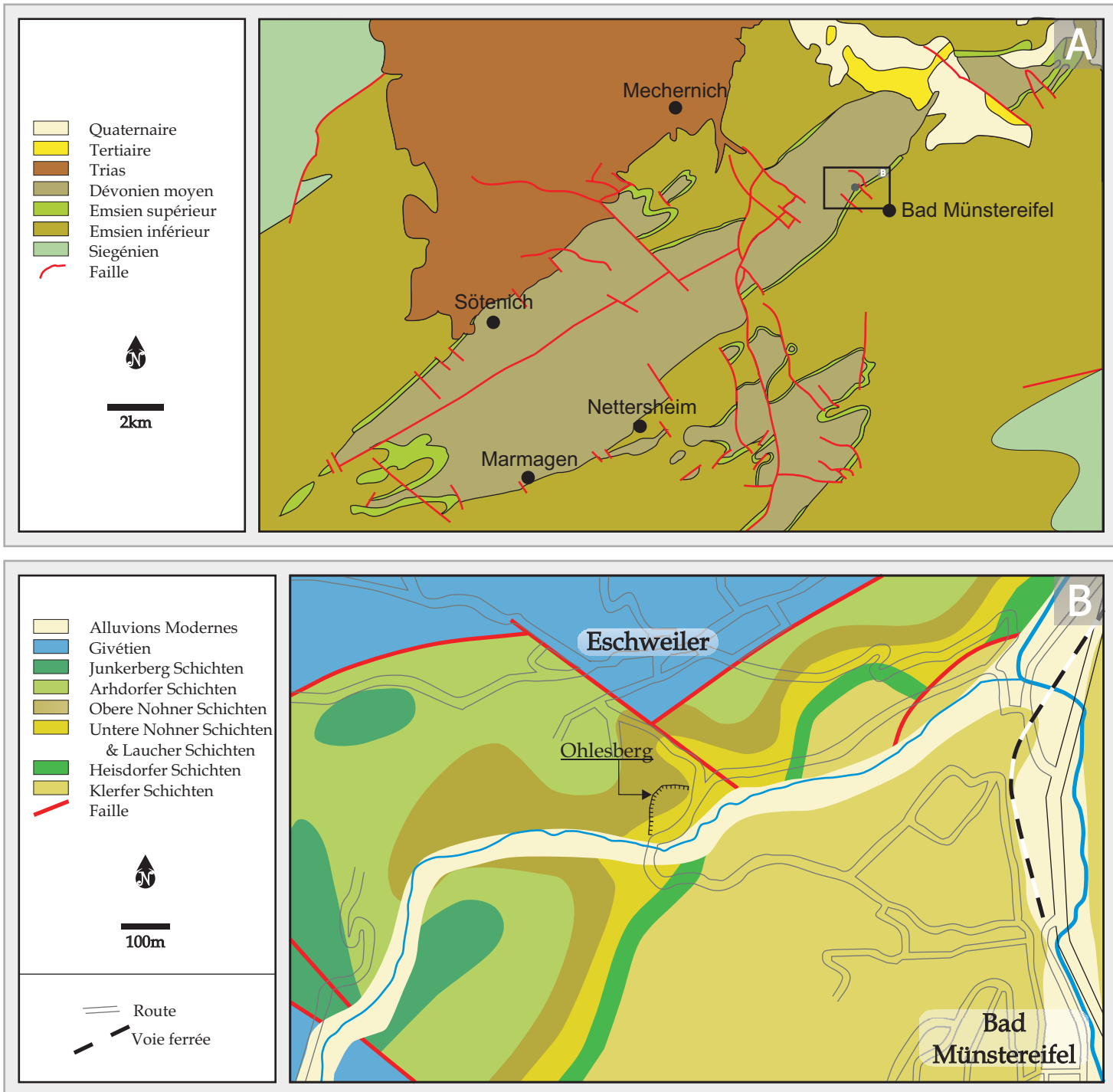


Fig. IV. 22: Localisation de la coupe du Ohlesberg.

A. Carte du Sötenicher Mulde. Le cadre noir correspond à la zone agrandie en B.

B. Carte géologique détaillée des environs du Ohlesberg.

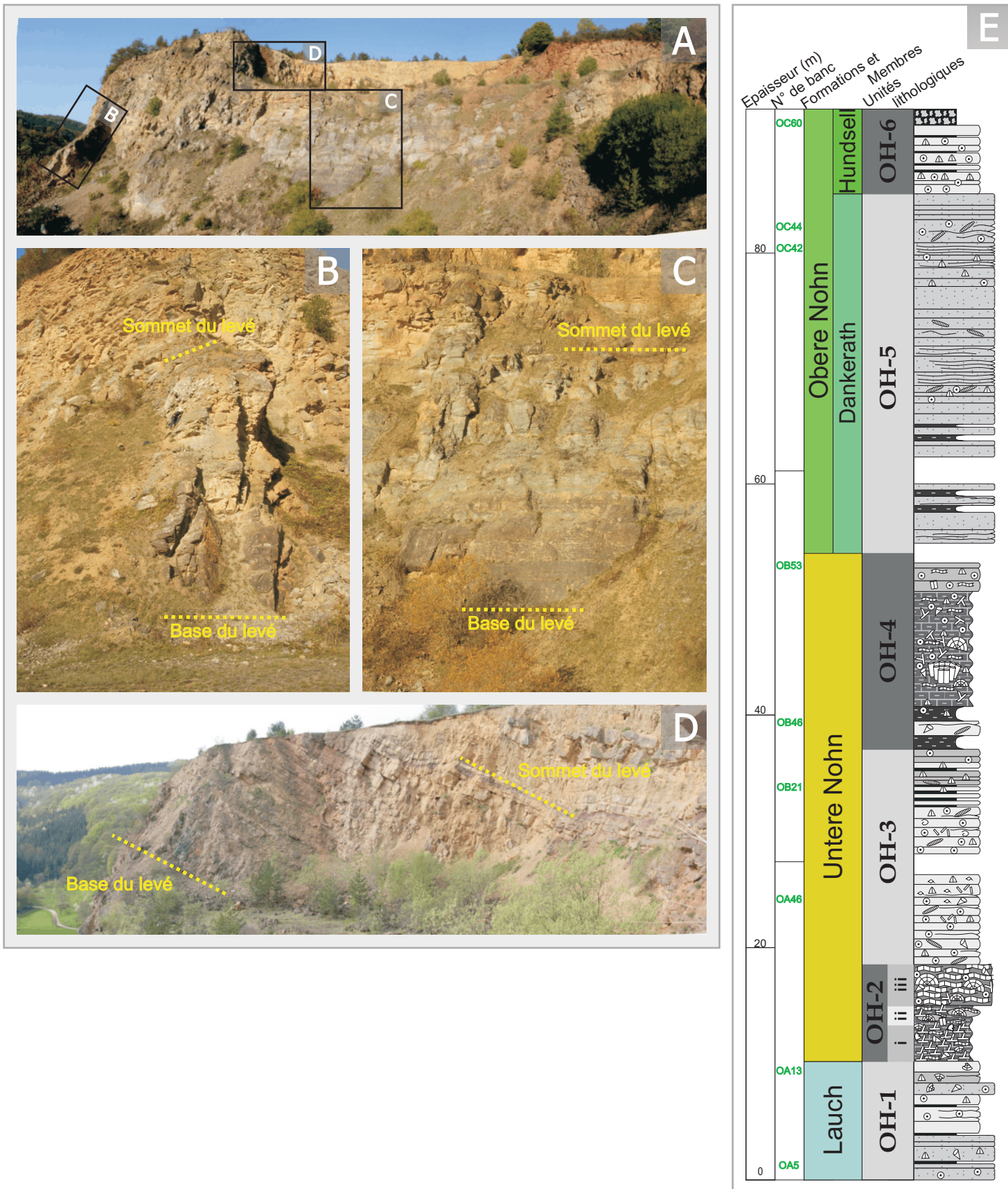


Fig. IV. 23: Vues générales et colonne lithologique simplifiée du Ohlesberg.

A. Vue générale de la carrière du Ohlesberg. Les cadres noirs correspondent au photos B, C et D.

B. Coupe OA.

C. Coupe OB.

D. Coupe OC.

E. Colonne lithologique simplifiée de la coupe composite du Ohlesberg couvrant les Formations de Lauch et de Nohn.